

Computational Physics Praktikum: Numerische Hydrodynamik

Christoph Schäfer & Wilhelm Kley
Institut für Astronomie & Astrophysik
& Kepler Center for Astro and Particle Physics Tübingen

EBERHARD KARLS
UNIVERSITÄT
TÜBINGEN



Hydrodynamik: Hydrodynamische Gleichungen

Die Euler-Gleichungen der Hydrodynamik lauten in Erhaltungsform

$$\frac{\partial \rho}{\partial t} + \nabla \cdot (\rho \mathbf{u}) = 0 \quad (1)$$

$$\frac{\partial (\rho \mathbf{u})}{\partial t} + \nabla \cdot (\rho \mathbf{u} \otimes \mathbf{u}) = -\nabla p + \rho \mathbf{k} \quad (2)$$

$$\frac{\partial (\rho \epsilon)}{\partial t} + \nabla \cdot (\rho \epsilon \mathbf{u}) = -p \nabla \cdot \mathbf{u} \quad (3)$$

\mathbf{u} : Geschwindigkeit, \mathbf{k} : äußere Kräfte, ϵ innere spezifische Energie

Die Gleichungen beschreiben die Erhaltung der Masse, Impuls und Energie.

Vervollständigung durch Zustandsgleichung:

$$p = (\gamma - 1) \rho \epsilon \quad (4)$$

Forme damit die Energie-Gleichung (3) in eine Gl. für den Druck um

$$\frac{\partial p}{\partial t} + \nabla \cdot (p \mathbf{u}) = -(\gamma - 1) p \nabla \cdot \mathbf{u} \quad (5)$$

Entwickle die Divergenzen auf der linken Seite und benutze für die Impuls- und Energiegleichung die Kontinuitätsgleichung

$$\frac{\partial \rho}{\partial t} + (\mathbf{u} \cdot \nabla) \rho = -\rho \nabla \cdot \mathbf{u} \quad (6)$$

$$\frac{\partial \mathbf{u}}{\partial t} + (\mathbf{u} \cdot \nabla) \mathbf{u} = -\frac{1}{\rho} \nabla p + \mathbf{k} \quad (7)$$

$$\frac{\partial p}{\partial t} + (\mathbf{u} \cdot \nabla) p = -\gamma p \nabla \cdot \mathbf{u} \quad (8)$$

Da alle Größen Funktionen von Ort (\mathbf{r}) und Zeit (t) sind, z.B. $\rho(\mathbf{r}, t)$, kann für die linke Seite die totale Zeitableitung geschrieben werden.

z.B. für die Dichte

$$\frac{D\rho}{Dt} = \frac{\partial \rho}{\partial t} + (\mathbf{u} \cdot \nabla) \rho = -\rho \nabla \cdot \mathbf{u} \quad (9)$$

der Operator

$$\frac{D}{Dt} = \frac{\partial}{\partial t} + \mathbf{u} \cdot \nabla \quad (10)$$

heißt substantielle Zeitableitung (entspricht der totalen Zeitableitung, d/dt)

Benutze die substantielle Ableitung

$$\frac{D\rho}{Dt} = -\rho \nabla \cdot \mathbf{u} \quad (11)$$

$$\frac{D\mathbf{u}}{Dt} = -\frac{1}{\rho} \nabla p + \mathbf{k} \quad (12)$$

$$\frac{Dp}{Dt} = -\gamma p \nabla \cdot \mathbf{u} \quad (13)$$

Beschreibt zeitliche Änderung der Größen in einem mit der Strömung mitbewegten System = Lagrange-Formulierung

Die Lagrangeformulierung kann z.B. gut bei radialen Stern-Oszillationen verwendet werden.

Ist 1D Problem. Hier durch mitbewegte Masseschalen

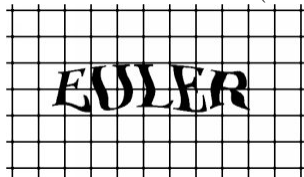
Bei Euler-Formulierung (auf Gitter): orstfest !

Numerische Hydrodynamik: Problemstellung

Betrachte die volle Entwicklung der zeitabhängigen hydrodynamischen Gleichungen. Die nicht-linearen partiellen Differentialgleichungen der Hydrodynamik werden numerisch gelöst: Kontinuum \Rightarrow Diskretisierung



Gitter-Methoden (Euler)



festes Gitter

- Strömung durch Gitter

$$\rho \left(\frac{\partial \mathbf{u}}{\partial t} + \mathbf{u} \cdot \nabla \mathbf{u} \right) = -\nabla p$$

Methoden:

- Finite Differenzen
keine Erhaltungseigenschaften
- Control Volume
Erhaltungseigenschaften
- Riemann-Löser
Welleneigenschaften
- Problem: Diskontinuitäten

Teilchen-Methoden (Lagrange)



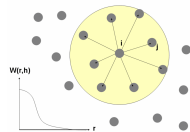
bewegtes Gitter/Teilchen

- Strömung bewegt Gitter

$$\rho \frac{d\mathbf{u}}{dt} = -\nabla p$$

Bekannte Methode:

Smoothed Particle Hydrodynamics, SPH



'ausgeschmierte Teilchen'

Gut für freie Ränder, Eigengravitation

Numerische Hydrodynamik: betrachte: 1D Eulergleichungen

Beschreiben Erhaltung von: Masse, Impuls und Energie

$$\frac{\partial \rho}{\partial t} + \frac{\partial \rho u}{\partial x} = 0 \quad (14)$$

$$\frac{\partial \rho u}{\partial t} + \frac{\partial \rho u u}{\partial x} = -\frac{\partial p}{\partial x} \quad (15)$$

$$\frac{\partial \rho \epsilon}{\partial t} + \frac{\partial \rho \epsilon u}{\partial x} = -p \frac{\partial u}{\partial x} \quad (16)$$

ρ : Dichte

u : Geschwindigkeit

p : Druck

ϵ : innere spezifische Energie (Energie/Masse)

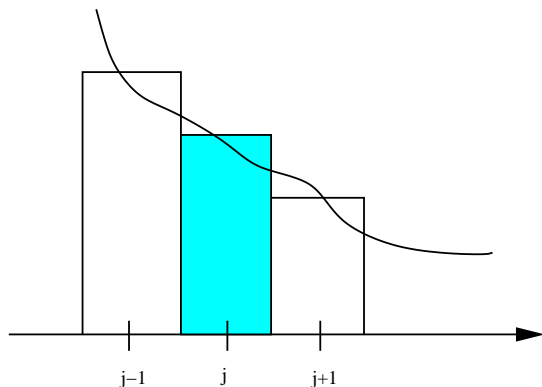
Mit Zustandsgleichung

$$p = (\gamma - 1)\rho\epsilon \quad (17)$$

γ : Adiabatenexponent

Partielle Dgl. in Raum und Zeit.

→ Brauche Diskretisierung in Raum und Zeit.



Betrachte Funktion: $\psi(x, t)$
Diskretisierung im Raum
Überdeckung mit Gitter

$$\Delta x = \frac{x_{\max} - x_{\min}}{N}$$

ψ_j^n Zellmittelwert von $\psi(x, t)$ am Gitterpunkt x_j zum Zeitpunkt t^n

$$\psi_j^n = \psi(x_j, t^n) \approx \frac{1}{\Delta x} \int_{(j-1/2)\Delta x}^{(j+1/2)\Delta x} \psi(x, n\Delta t) dx$$

ψ_j^n ist stückweise konstant. j räumlicher Index, n Zeitschritt.

Betrachte allg. Gleichung

$$\frac{\partial \psi}{\partial t} = \mathcal{L}(\psi(\mathbf{x}, t)) \quad (18)$$

mit einem (räumlichen) Differentialoperator \mathcal{L} .

Typische Diskretisierung (1. Ordnung in der Zeit), z.Zt.: $t = t^n = n\Delta t$

$$\frac{\partial \psi}{\partial t} \approx \frac{\psi(t + \Delta t) - \psi(t)}{\Delta t} = \frac{\psi^{n+1} - \psi^n}{\Delta t} = L(\psi^n) \quad (19)$$

Jetzt am Ort, dem Gitterpunkt \mathbf{x}_j mit Umformung

$$\psi_j^{n+1} = \psi_j^n + \Delta t L(\psi_k^n) \quad (20)$$

$L(\psi_k^n)$: diskretisierter Differentialoperator \mathcal{L} (hier explizit)

- k in $L(\psi_k)$: Satz von räumlichen Indizes:

- typisch bei 2. Ordnung: $k \in \{j-2, j-1, j, j+1, j+2\}$

(brauche Information von links und rechts, 5 Punkt 'Stencil')

$$\frac{\partial \mathbf{A}}{\partial t} = \mathcal{L}_1(\mathbf{A}) + \mathcal{L}_2(\mathbf{A}) \quad (21)$$

$\mathcal{L}_i(\mathbf{A})$, $i = 1, 2$ einzelne (Differential-)Operatoren angewandt auf die Größen $\mathbf{A} = (\rho, \mathbf{u}, \epsilon)$.

Hier bei 1D idealer Hydrodynamik

\mathcal{L}_1 : Advektion

\mathcal{L}_2 : Druck, bzw. ext. Kräfte

Zur Lösung in einzelne Unterschritte unterteilt

$$\begin{aligned} \mathbf{A}^1 &= \mathbf{A}^n + \Delta t \mathcal{L}_1(\mathbf{A}^n) \\ \mathbf{A}^{n+1} = \mathbf{A}^2 &= \mathbf{A}^1 + \Delta t \mathcal{L}_2(\mathbf{A}^1) \end{aligned} \quad (22)$$

\mathcal{L}_i ist Differenzenoperator zu \mathcal{L}_i .

$$\begin{aligned}\frac{\partial \rho}{\partial t} &= -\frac{\partial \rho u}{\partial x} \\ \frac{\partial(\rho u)}{\partial t} &= -\frac{\partial(\rho u u)}{\partial x} \\ \frac{\partial(\rho \epsilon)}{\partial t} &= -\frac{\partial(\rho \epsilon u)}{\partial x}\end{aligned}$$

In expliziter Erhaltungsform

$$\frac{\partial \mathbf{u}}{\partial t} + \frac{\partial \mathbf{f}(\mathbf{u})}{\partial x} = 0 \quad (23)$$

Für $\mathbf{u} = (u_1, u_2, u_3)$ und $\mathbf{f} = (f_1, f_2, f_3)$ gilt:

$\mathbf{u} = (\rho, \rho u, \rho \epsilon)$ und $\mathbf{f} = (\rho u, \rho u u, \rho \epsilon u)$.

Dieser Schritt ergibt: $\rho^n \rightarrow \rho^1 = \rho^{n+1}, \quad u^n \rightarrow u^1, \quad \epsilon^n \rightarrow \epsilon^1$

Impulsgleichung

$$\frac{\partial u}{\partial t} = -\frac{1}{\rho} \frac{\partial p}{\partial x} \quad (24)$$

$$u_j^{n+1} = u_j - \Delta t \frac{1}{\bar{\rho}_j^{n+1}} \frac{(p_j - p_{j-1})}{\Delta x} \quad \text{für } j = 2, N \quad (25)$$

Energiegleichung

$$\frac{\partial \epsilon}{\partial t} = -\frac{p}{\rho} \frac{\partial u}{\partial x} \quad (26)$$

$$\epsilon_j^{n+1} = \epsilon_j - \Delta t \frac{p_j}{\rho_j^{n+1}} \frac{(u_{j+1} - u_j)}{\Delta x} \quad \text{für } j = 1, N \quad (27)$$

auf der rechten Seite werden jeweils die momentanen Werte für u , ϵ und p eingesetzt, also hier u^1, p^1, ϵ^1 .

Dieser Schritt ergibt: $u^1 \rightarrow u^{n+1}, \quad \epsilon^1 \rightarrow \epsilon^{n+1}$

Kontinuitätsgleichung lautete

$$\frac{\partial \rho}{\partial t} + \frac{\partial \rho u}{\partial x} = 0 \quad (28)$$

Hier ist $F^m = \rho u$ der Massenfluss

Geht mit $\rho \rightarrow \psi$ und $u \rightarrow a = \text{const.}$ über in die **Lineare Advektionsgleichung**

$$\frac{\partial \psi}{\partial t} + a \frac{\partial \psi}{\partial x} = 0. \quad (29)$$

Bei konstantem a ist die Lösung eine nach rechts laufende Welle

$$\text{mit } \psi(x, t=0) = f(x) \quad \text{wird} \quad \psi(x, t) = f(x - at)$$

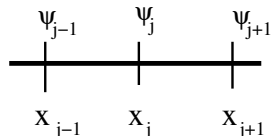
Hierbei ist $f(x)$ die Anfangsbedingung zur Zeit $t = 0$, welche durch Advektion mit konstanter Geschwindigkeit a verschoben wird.

Die Numerik sollte diese Eigenschaft bestmöglichst erhalten.

FTCS: *Forward Time Centered Space* Algorithmus

$$\frac{\partial \psi}{\partial t} + a \frac{\partial \psi}{\partial x} = 0 \quad (30)$$

Spezifiziere Gitter :



und schreibe

$$\left. \frac{\partial \psi}{\partial t} \right|_j^n = \frac{\psi_j^{n+1} - \psi_j^n}{\Delta t} \quad (31)$$

$$\left. \frac{\partial \psi}{\partial x} \right|_j^n = \frac{\psi_{j+1}^n - \psi_{j-1}^n}{2 \Delta x} \quad (32)$$

es folgt

$$\psi_j^{n+1} = \psi_j^n - \frac{a \Delta t}{2 \Delta x} (\psi_{j+1}^n - \psi_{j-1}^n) \quad (33)$$

Methode sieht gut motiviert aus: ist aber **Instabil** für alle Δt !

Numerische Hydrodynamik: Upwind-Methode I

$$\frac{\partial \psi}{\partial t} + \frac{\partial a \psi}{\partial x} = 0 \quad (34)$$

oder

$$\frac{\partial \psi}{\partial t} + a \frac{\partial \psi}{\partial x} = 0 \quad (35)$$

a : Konstante (Geschwindigkeit) > 0
 $\psi(x, t)$ beliebige Transportgröße

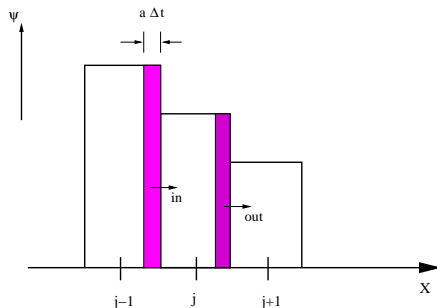
Änderung von ψ in Zelle j

$$\psi_j^{n+1} \Delta x = \psi_j^n \Delta x + \Delta t (F_{\text{in}} - F_{\text{out}}) \quad (36)$$

Der **Fluss** F_{in} ist für konstante ψ_j

$$F_{\text{in}} = a \psi_{j-1}^n \quad (37)$$

$$F_{\text{out}} = a \psi_j^n \quad (38)$$



Violette Bereiche werden in Nachbarzelle transportiert.

Upwind-Methode

Information kommt von Strom-
aufwärts

Erweiterung für nicht konstante Zustände

$$F_{in} = a \psi_I \left(x_{j-1/2} - \frac{a \Delta t}{2} \right) \quad (39)$$

$\psi_I(x)$ Interpolationspolynom.

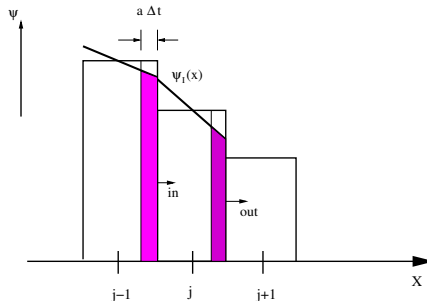
Hier lineare Interpolation (Gerade)

Damit

$$\underbrace{F_{in} = a \left[\underbrace{\psi_{j-1}^n}_{\text{1st Order}} + \frac{1}{2}(1 - \sigma)\Delta\psi_{j-1} \right]}_{\text{2nd Order}} \quad (40)$$

mit $\sigma \equiv a \Delta t / \Delta x$

$$\Delta\psi_j \approx \left. \frac{\partial \psi}{\partial x} \right|_{x_j} \Delta x$$



$$\psi_I(x) = \psi_j^n + \frac{x - x_j}{\Delta x} \Delta\psi_j \quad (41)$$

$\Delta\psi_j$ undividierte Differenz, approximiert Ableitung

Zweite Ordnung Upwind

$\psi_I(x)$ wird jeweils in der Mitte der violetten Bereiche ausgewertet.

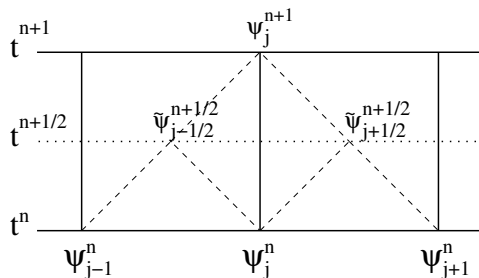
Verschiedene Methoden:

- a) $\Delta\psi_j = 0$ *Upwind, 1st Order*, stückweise konstant
- b) $\Delta\psi_j = \frac{1}{2} (\psi_{j+1} - \psi_{j-1})$ *Fromm*, zentrierte Ableitung
- c) $\Delta\psi_j = \psi_j - \psi_{j-1}$ *Beam-Warming*, Upwind Steigung
- d) $\Delta\psi_j = \psi_{j+1} - \psi_j$ *Lax-Wendroff*, Downwind Steigung

Meist 2nd Order Upwind (van Leer Schema) **Geometric Mean**
(erhält die Monotonizität)

$$\Delta\psi_j = \begin{cases} 2 \frac{(\psi_{j+1} - \psi_j)(\psi_j - \psi_{j-1})}{(\psi_{j+1} - \psi_{j-1})} & \text{falls } (\psi_{j+1} - \psi_j)(\psi_j - \psi_{j-1}) > 0 \\ 0 & \text{sonst.} \end{cases} \quad (42)$$

Die Ableitungen werden jeweils zum entsprechenden Zeitschrittlevel bzw. Zwischenschritt berechnet.



Schematischer Überblick über das Verfahren

verwendet räumlich und zeitlich zentrierte Differenzen

Dadurch zweite Ordnung in Raum und Zeit

Durch zwei Schritte:

Prädiktor-Schritt (z.Zt. $t^{n+1/2}$)

$$\tilde{\psi}_{j+1/2}^{n+1/2} = \frac{1}{2} (\psi_j^n + \psi_{j+1}^n) - \frac{\sigma}{2} (\psi_{j+1}^n - \psi_j^n) \quad (43)$$

Dann *Korrektor-Schritt* (auf Zt. t^{n+1})

$$\psi_j^{n+1} = \psi_j^n - \sigma \left(\tilde{\psi}_{j+1/2}^{n+1/2} - \tilde{\psi}_{j-1/2}^{n+1/2} \right) \quad (44)$$

Numerische Hydrodynamik: Beispiel: Lineare Advektion



Rechteckfunktion:

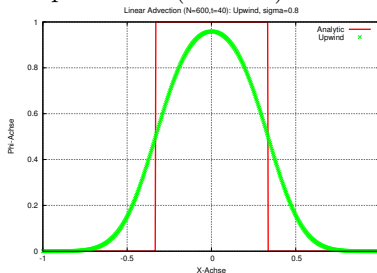
Breite 0.6 im Intervall $[-1, 1]$

Geschwindigkeit $a = 1$, bis $t = 40$

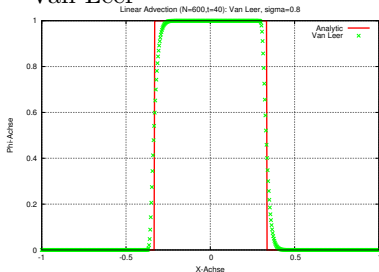
periodische Randbedingung

$\sigma = a\Delta t/\Delta x = 0.8$ - (Courantzahl)

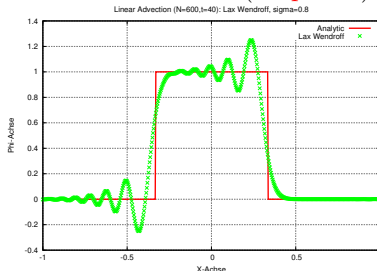
Upwind - (Diffusiv)



Van Leer



Lax-Wendroff - (Dispersiv)



Setze für Lösung eine Fourier-Reihe ein (von Neumann 1940/50er)

Betrachte vereinfachend eine Komponente, untersuche deren Wachstum

$$\psi_j^n = V^n e^{i\theta j} \quad (45)$$

mit der Definition von θ über die Gittergröße Δx und der Gesamtlänge L

$$\theta = \frac{2\pi\Delta x}{L} \quad (46)$$

Betrachte jetzt Upwind Verfahren mit $\sigma = a\Delta t/\Delta x$

$$\psi_j^{n+1} - \psi_j^n + \sigma(\psi_j^n - \psi_{j-1}^n) = 0 \quad (47)$$

Einsetzen von Gleichung (45)

$$V^{n+1} e^{i\theta j} = V^n e^{i\theta j} + \sigma V^n \left[e^{i\theta(j-1)} - e^{i\theta j} \right]$$

Teilen durch V^n und $e^{i\theta j}$ liefert

$$\frac{V^{n+1}}{V^n} = 1 + \sigma (e^{-i\theta} - 1) \quad (48)$$

Für das Betragsquadrat erhält man

$$\begin{aligned}\lambda(\theta) \equiv \left| \frac{V^{n+1}}{V^n} \right|^2 &= [1 + \sigma(e^{-i\theta} - 1)] [1 + \sigma(e^{i\theta} - 1)] \\ &= 1 + \sigma(e^{-i\theta} + e^{i\theta} - 2) - \sigma^2(e^{-i\theta} + e^{i\theta} - 2) \\ &= 1 + \sigma(1 - \sigma)(2 \cos \theta - 2) \\ &= 1 - 4\sigma(1 - \sigma) \sin^2 \left(\frac{\theta}{2} \right)\end{aligned}\quad (49)$$

Ein Verfahren ist stabil, falls der Betrag des *Verstärkungsfaktors* $\lambda(\theta)$ kleiner als eins ist. Das Upwind-Verfahren ist also stabil für $0 < \sigma < 1$, dann ist $|\lambda(\theta)| < 1$. Umgeschrieben

$$\Delta t < f_{\text{CFL}} \frac{\Delta x}{a} \quad (50)$$

mit dem Courant-Faktor $f_{\text{CFL}} < 1$. Üblich ist $f_{\text{CFL}} = 0.5$. (in 1D auch größer)

Satz: *Courant-Friedrich-Levy*

Es existiert kein *explizites*, konsistentes, stabiles finites Differenzenschema, welches bedingungslos stabil ist (d.h. für alle Δt).

Betrachte Upwind Verfahren mit $\sigma = a\Delta t/\Delta x$

$$\psi_j^{n+1} - \psi_j^n + \sigma(\psi_j^n - \psi_{j-1}^n) = 0 \quad (51)$$

Ersetze Differenzen durch Ableitungen, d.h. Taylor-Entwicklung (bis 2. Ordnung)

$$\frac{\partial \psi}{\partial t} \Delta t + \frac{1}{2} \frac{\partial^2 \psi}{\partial t^2} \Delta t^2 + \mathcal{O}(\Delta t^3) + \sigma \left(\frac{\partial \psi}{\partial x} \Delta x - \frac{1}{2} \frac{\partial^2 \psi}{\partial x^2} \Delta x^2 \right) + \mathcal{O}(\Delta t \Delta x^2) = 0 \quad (52)$$

Teile durch Δt , ersetze σ

$$\frac{\partial \psi}{\partial t} + a \frac{\partial \psi}{\partial x} + \frac{1}{2} \left(\frac{\partial^2 \psi}{\partial t^2} \Delta t - a \frac{\partial^2 \psi}{\partial x^2} \Delta x \right) + \mathcal{O}(\Delta t^2) + \mathcal{O}(\Delta x^2) = 0 \quad (53)$$

Benutze Wellengleichung $\psi_{tt} = a^2 \psi_{xx} \Rightarrow$ modifizierte Gleichung (Index M)

$$\frac{\partial \psi_M}{\partial t} + a \frac{\partial \psi_M}{\partial x} = \frac{1}{2} a \Delta x (1 - \sigma) \frac{\partial^2 \psi_M}{\partial x^2} \quad (54)$$

D.h. die FDG addiert einen diffusiven Term zur ursprünglichen PDG

mit Diffusions-Koeffizienten

$$D = \frac{1}{2} a \Delta x (1 - \sigma) \quad (55)$$

Bem: Nur für $D > 0$ ist dies eine Diffusionsgleichung, woraus $\sigma < 1$ für die **Stabilität** folgt (**Hirt**-Methode). Für Upwind-Methode ist $D > 0 \Rightarrow$ Diffusion.

Lax-Wendroff liefert

$$\frac{\partial \psi_M}{\partial t} + a \frac{\partial \psi_M}{\partial x} = \frac{\Delta t^2 a}{\sigma} (\sigma^2 - 1) \frac{\partial^3 \psi_M}{\partial x^3} \quad (56)$$

Die Gleichung hat also die Form

$$\psi_t + a \psi_x = \mu \psi_{xxx} \quad (57)$$

$$\mu = \frac{\Delta t^2 a}{\sigma} (\sigma^2 - 1) \quad (58)$$

Dies verursacht **Dispersion**. Hier: Wellen zu langsam ($\mu < 0$)
 \Rightarrow Oszillationen hinter Diskontinuität (vgl. Rechteckfunktion)

Aus obiger Analyse folgt, dass die Zeitschrittgröße Δt limitiert sein muss für eine stabile numerische Entwicklung.

Bei der linearen Advektion (mit der Geschwindigkeit a) gilt

$$\Delta t < \frac{\Delta x}{a} \quad (59)$$

Im allgemeinen Fall geht die Schallgeschwindigkeit (c_s) ein, und es ergibt sich die **Courant-Friedrich-Lewy**-Bedingung

$$\Delta t < \frac{\Delta x}{c_s + |\mathbf{u}|} \quad (60)$$

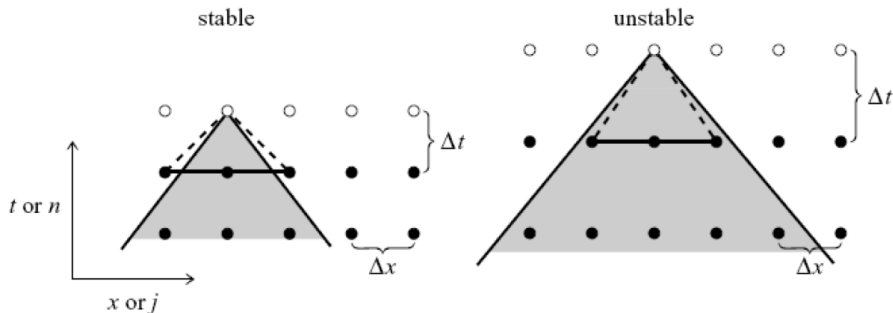
Anschaulich heißt dies, dass sich die Information in einem Zeitschritt nicht über eine Gitterzelle hinweg ausbreiten darf. Man schreibt üblicherweise

$$\Delta t = f_C \frac{\Delta x}{c_s + |\mathbf{u}|} \quad (61)$$

mit dem **Courant-Faktor** f_C . Typisch ist: $f_C \sim 0.5$.

Nur bei **impliziten Verfahren** gibt es (theoretisch) keine Beschränkung von Δt .

Numerische Hydrodynamik: Zeitschrittgröße graphisch



Der numerische Abhängigkeitsbereich (gestrichelter Bereich) muss größer als der physikalische (grauer Bereich) sein ($\Delta x / \Delta t > a$).

Die gesamte Information des physikalischen 'Schallkegels' muss berücksichtigt werden.

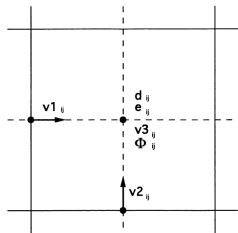
Gitterdefinition (in 2D, **staggered**):

Skalare in Zellzentren

(hier: $\rho, \epsilon, p, v_3, \psi$)

Vektoren an Interfaces

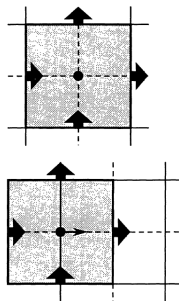
(hier: v_1, v_2)



Flüsse über Zellränder:

Oben: Masseflüsse

Unten: X-Impuls (Gitter verschoben)



aus: *ZEUS-2D: A radiation magnetohydrodynamics code for astrophysical flows in two space dimensions. I* in *The Astrophysical Journal Suppl.*, von Jim Stone und Mike Norman, 1992.

Benutze **Operator-Splitting** und **Directional Splitting**: Die x und y Richtung werden nacheinander abgehandelt. Erst x -scans, dann y -scans.

Numerische Methoden sollten Erhaltungseigenschaften wiedergeben.

Gleichungen in Erhaltungsform schreiben

Numerische Methoden sollten Welleneigenschaften wiedergeben.

Shock-Capturing Methoden, Riemann-Löser

Numerische Methoden müssen Diskontinuitäten unter Kontrolle halten.

Brauche dazu Diffusion (\Rightarrow Stabilität)

entweder explizit (künstliche Viskosität) oder intrinsisch (durch Verfahren)

Numerische Methoden sollten genau sein

mind. 2. Ordnung in Zeit und Raum

Frei verfügbare Codes:

ZEUS: <http://www.astro.princeton.edu/~jstone/zeus.html>

klassischer Upwind-Code, zweiter Ordnung, staggered grid, RMHD

ATHENA: <https://trac.princeton.edu/Athena/>

Nachfolger von ZEUS: Riemann Löser, zentriertes Gitter, MHD

NIRVANA: <http://nirvana-code.aip.de/>

3D, AMR, Finite Volume Code, MHD

PLUTO: <http://plutocode.ph.unito.it/>

3D, relativistisch, Riemann-Löser/Finite Volume, MHD

Betrachte eindimensionale Gleichungen (Bewegung in x-Richtung):

Aus Eulergleichungen: Mit $p = (\gamma - 1)\rho\epsilon$ und Trennen der Ableitungen

$$\left. \begin{aligned} \frac{\partial \rho}{\partial t} + \frac{\partial \rho u}{\partial x} &= 0 \\ \frac{\partial \rho u}{\partial t} + \frac{\partial \rho u u}{\partial x} &= -\frac{\partial p}{\partial x} \\ \frac{\partial \rho \epsilon}{\partial t} + \frac{\partial \rho \epsilon u}{\partial x} &= -p \frac{\partial u}{\partial x} \end{aligned} \right\} \Rightarrow \begin{aligned} \frac{\partial \rho}{\partial t} + u \frac{\partial \rho}{\partial x} + \rho \frac{\partial u}{\partial x} &= 0 \\ \frac{\partial u}{\partial t} + u \frac{\partial u}{\partial x} + \frac{1}{\rho} \frac{\partial p}{\partial x} &= 0 \\ \frac{\partial p}{\partial t} + u \frac{\partial p}{\partial x} + \gamma p \frac{\partial u}{\partial x} &= 0 \end{aligned}$$

Als Vektorgleichung

$$\frac{\partial \mathbf{W}}{\partial t} + \mathbf{A} \frac{\partial \mathbf{W}}{\partial x} = 0 \quad (62)$$

mit

$$\mathbf{W} = \begin{pmatrix} \rho \\ u \\ p \end{pmatrix} \quad \text{und} \quad \mathbf{A} = \begin{pmatrix} u & \rho & 0 \\ 0 & u & 1/\rho \\ 0 & \gamma p & u \end{pmatrix} \quad (63)$$

Gleichungen sind nichtlinear und gekoppelt.

Versuche Entkopplung: \Rightarrow Diagonalisierung von \mathbf{A}

Eigenwerte (EW)

$$\begin{aligned}\det(\mathbf{A}) &= \begin{vmatrix} u - \lambda & \rho & 0 \\ 0 & u - \lambda & 1/\rho \\ 0 & \gamma p & u - \lambda \end{vmatrix} = (u - \lambda) \begin{vmatrix} u - \lambda & 1/\rho \\ \gamma p & u - \lambda \end{vmatrix} \\ &= (u - \lambda) [(u - \lambda)^2 - \gamma p / \rho] = 0\end{aligned}\quad (64)$$

Es folgt:

$$\begin{aligned}\lambda_0 &= u \\ \lambda_{\pm} &= u \pm c_s\end{aligned}\quad (65)$$

mit der **Schallgeschwindigkeit**

$$c_s^2 = \frac{\gamma p}{\rho}\quad (66)$$

Die Eigenwerte geben charakteristische Geschwindigkeiten, mit denen sich die Information ausbreitet.

Setzt sich aus Fluid- (u) und Schallgeschwindigkeit (c_s) zusammen
3 reelle Eigenwerte $\Rightarrow \mathbf{A}$ diagonalisierbar

$$\mathbf{Q}^{-1} \mathbf{A} \mathbf{Q} = \mathbf{\Lambda}\quad (67)$$

\mathbf{Q} setzt sich aus Eigenvektoren zu EW (λ_i , $i = 0, +, -$) zusammen, $\mathbf{\Lambda}$ ist Diagonalmatrix.

Hydrodynamik: Charakteristische Variablen

Für \mathbf{Q} folgt

$$\mathbf{Q} = \begin{pmatrix} 1 & \frac{1}{2} \frac{\rho}{c_s} & -\frac{1}{2} \frac{\rho}{c_s} \\ 0 & \frac{1}{2} & \frac{1}{2} \\ 0 & \frac{1}{2} \rho c_s & -\frac{1}{2} \rho c_s \end{pmatrix} \quad \text{und} \quad \mathbf{Q}^{-1} = \begin{pmatrix} 1 & 0 & -\frac{1}{c_s^2} \\ 0 & 1 & \frac{1}{\rho c_s} \\ 0 & 1 & -\frac{1}{\rho c_s} \end{pmatrix}$$

Hatten

$$\frac{\partial \mathbf{W}}{\partial t} + \mathbf{A} \frac{\partial \mathbf{W}}{\partial x} = 0 \quad (68)$$

und

$$\mathbf{Q}^{-1} \mathbf{A} \mathbf{Q} = \Lambda$$

Definiere:

$$d\mathbf{v} \equiv \mathbf{Q}^{-1} d\mathbf{W} \quad \text{also} \quad d\mathbf{W} = \mathbf{Q} d\mathbf{v} \quad (69)$$

Multipliziere Gl. (68) mit \mathbf{Q}^{-1}

$$\frac{\partial \mathbf{v}}{\partial t} + \Lambda \frac{\partial \mathbf{v}}{\partial x} = 0 \quad (70)$$

$\mathbf{v} = (v_0, v_+, v_-)$ sind charakteristische Variable: $v_i = \text{const.}$ auf Kurven

$$\frac{dx}{dt} = \lambda_i$$

aus den Definitionen

$$dv_0 = d\rho - \frac{1}{c_s^2} dp \quad (71)$$

$$\frac{\partial v_0}{\partial t} + \lambda_0 \frac{\partial v_0}{\partial x} = 0 \quad \text{mit} \quad \lambda_0 = u \quad (72)$$

was ist dv_0 ?

Aus Thermodynamik (1. Hauptsatz für spezifische Größen)

$$T ds = d\epsilon + p d\left(\frac{1}{\rho}\right) = d\epsilon - \frac{p}{\rho^2} d\left(\frac{1}{\rho}\right) \quad (73)$$

mit $p = (\gamma - 1)\rho\epsilon$, $\epsilon = c_v T$, $\gamma = c_p/c_v$ folgt

$$ds = -\frac{c_p}{\rho} \left[d\rho - \frac{dp}{c_s^2} \right] = -\frac{c_p}{\rho} dv_0 \quad (74)$$

$$\implies \frac{\partial s}{\partial t} + u \frac{\partial s}{\partial x} = 0 \quad (75)$$

d.h. s ist const. entlang Stromlinien, also

$$\frac{ds}{dt} = 0 \quad (76)$$

Für weitere Variablen

$$\frac{\partial v_{\pm}}{\partial t} + (u \pm c_s) \frac{\partial v_{\pm}}{\partial x} = 0 \quad (77)$$

mit

$$dv_{\pm} = du \pm \frac{1}{\rho c_s} dp \quad (78)$$

folgt

$$v_{\pm} = u \pm \int \frac{dp}{\rho c_s} . \quad (79)$$

Sei Entropie überall konstant (d.h. $p = K\rho^{\gamma}$)

$$\implies v_{\pm} = u \pm \frac{2c_s}{\gamma - 1} \quad (80)$$

Riemann-Invarianten: $v_{\pm} = \text{const.}$ auf Kurven

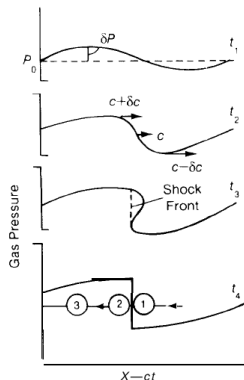
$$\frac{dx}{dt} = u \pm c_s$$

Hydrodynamik: Aufsteilen von Schallwellen

Linearisierung der Euler-Gleichungen führt auf Wellengleichung für Störung:

$$\frac{\partial^2 \rho_1}{\partial t^2} = c_s^2 \frac{\partial^2 \rho_1}{\partial x^2} \quad (81)$$

aber: c_s nicht konstant \Rightarrow Aufsteilen



\Rightarrow Diskontinuitäten

\equiv Sprung: Über- Unterschall

Bspl. für (rücklaufende) Stoßwelle

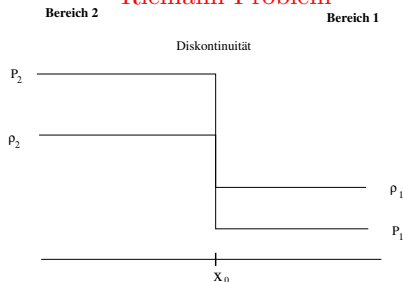


Copyright, 1948
by Gabriele Wauer

Beispiele: Stoßrohr - Shocktube

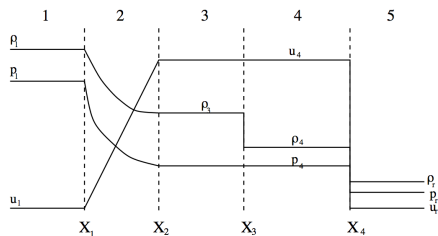
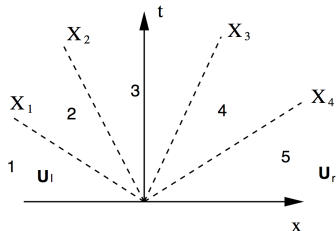
Anfangsdiskontinuität in einem Rohr am Ort x_0 (eindimensional)

Riemann-Problem



Sprung in Druck (p) und Dichte (ρ)
es entwickelt sich:

- eine Stoßwelle nach rechts (X_4)
(mit Überschall $u_{sh} > c_s$)
- eine Kontaktdiskontinuität
Dichtesprung (entlang X_3)
- eine Verdünnungswelle
(zwischen X_1 und X_2)



Beispiele: Sod-Shocktube

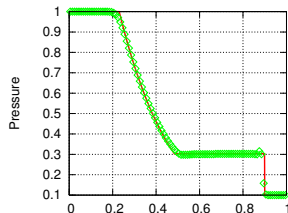
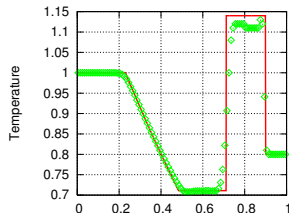
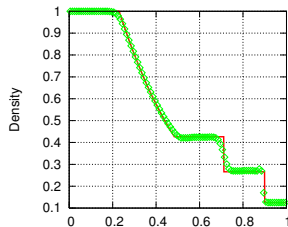
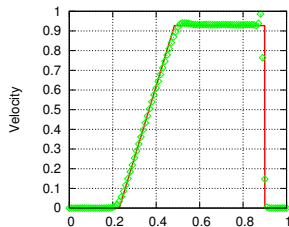
Standard Testproblem für numerische Hydrodynamik, $x \in [0, 1]$ mit

$X_0 = 0.5$, $\gamma = 1.4$

$\rho_1 = 1.0, p_1 = 1.0, \epsilon_1 = 2.5, T_1 = 1$ und $\rho_2 = 0.1, p_2 = 0.125, \epsilon_2 = 2.0, T_2 = 0.8$

Hier Lösung mit van Leer Verfahren (z.Zt. $t = 0.228$ nach 228 Zeitschritten:)

Shock-Tube: Sod; Mono: Geometric Mean; $N_x=100, N_t=228, dt=0.001$



Rot: Exakt
Grün: Numerik
Lösung ist:
selbstähnlich
gehen durch
Streckung
auseinander
hervor.

Beispiele: Sedov-Explosionen

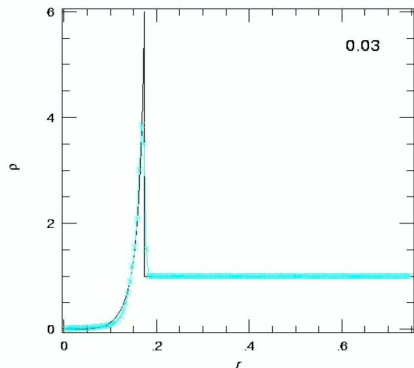
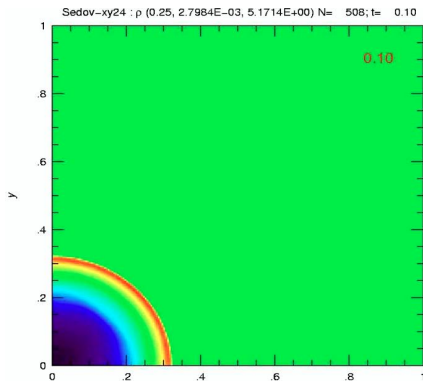
Als Beispiel für Bombenexplosionen (Sedov & Taylor, 1950er), analytische Lösung (Sedov)

Grundproblem für Supernovae-Ausbrüche, z.B. Abschätzung der Remnant-Größe

Standard Testproblem mehr-dimensionale Hydrodynamik für $x, y \in [0, 1] \times [0, 1]$

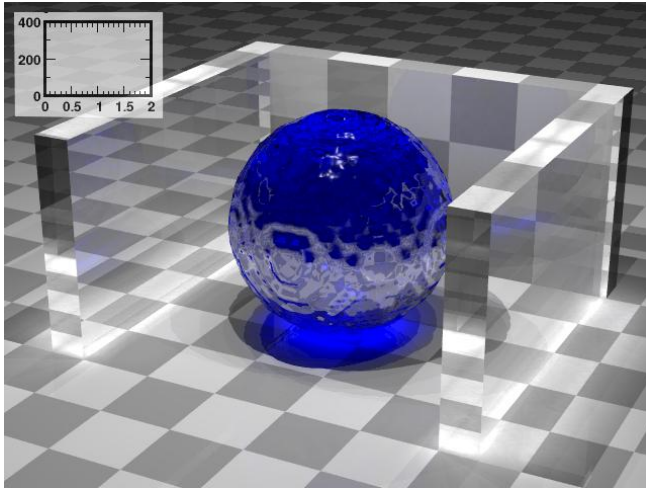
Energie-Input am Ursprung, $E = 1$, in $\rho = 1$, $\gamma = 1.4$, 200×200 Gitterpunkte

Hier Lösung mit van Leer Verfahren (löse für totale Energie-Variable). Dargestellt: Dichte



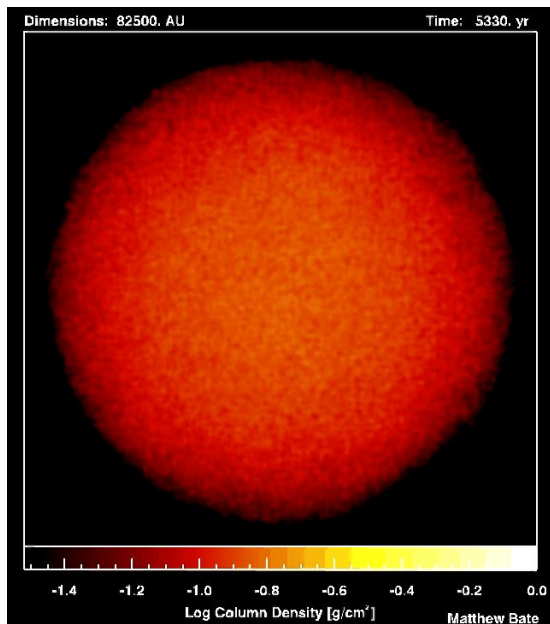
Beispiele: Wassertropfen: SPH

Wasserkugel ($R=30\text{cm}$), Wanne ($1\times 1\text{ m}$, 60cm hoch) Incl.
Oberflächenspannung, Zeit in Sekunden (TU-München, 2002)



(Website)

Beispiele: Sternentstehung: SPH



Molekulare Wolke

Masse:

$50 M_{\odot}$

Durchmesser:

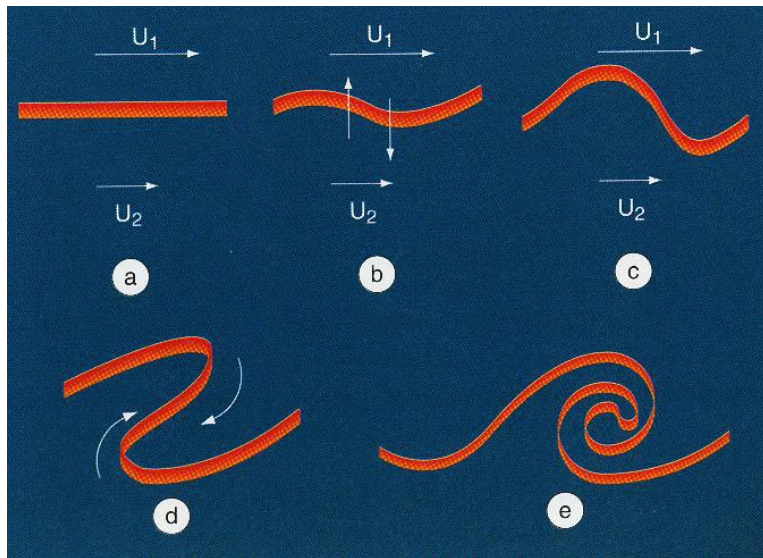
$1.2 \text{ LJ} = 76,000 \text{ AE}$

Temperatur:

10 K

(M. Bate, 2002)

Beispiele: Kelvin-Helmholtz Instabilität: Prinzip



Die KHI ist eine Scherinstabilität. Sprung in Tangential-Geschwindigkeit.

Beispiele: KH-Instabilität: In Atmosphäre



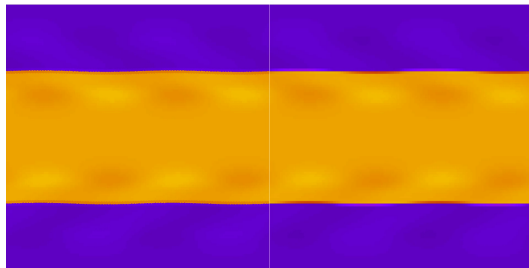
(Boulder (NCAR), USA)

Beispiele: KH-Instabilität: Simulation

Direkter Vergleich: Bewegtes \longleftrightarrow Festes Gitter

Links: Gitter bewegt (Voronoi-Tessellation)

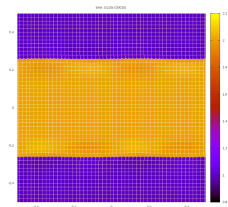
Rechts: festes quadratisches Gitter (Euler)



(Kevin Schaal, Tübingen)

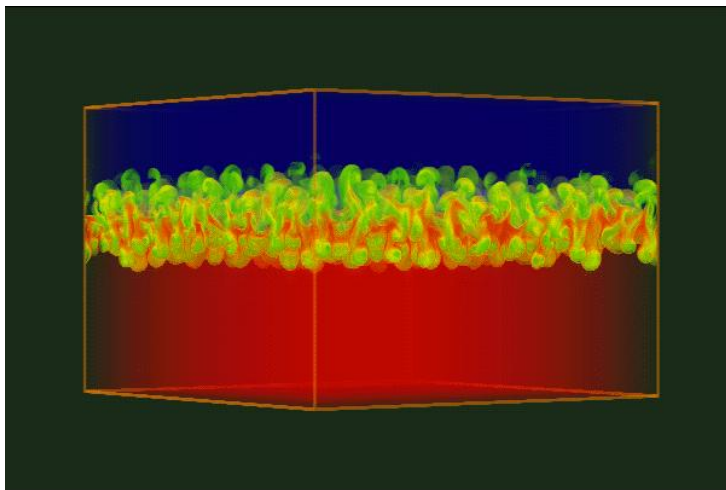
Youtube channel

mit Gitterbewegung



Beispiele: Rayleigh-Taylor Instabilität

PPM Code, 128 Knoten, ASCI Blue-Pacific ID System at LLNL
512³ Gitterpunkte (LLNL, 1999)

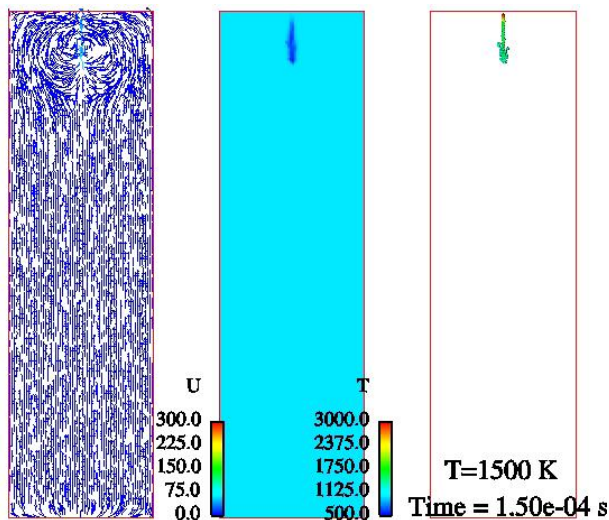


([Web-Link](#))

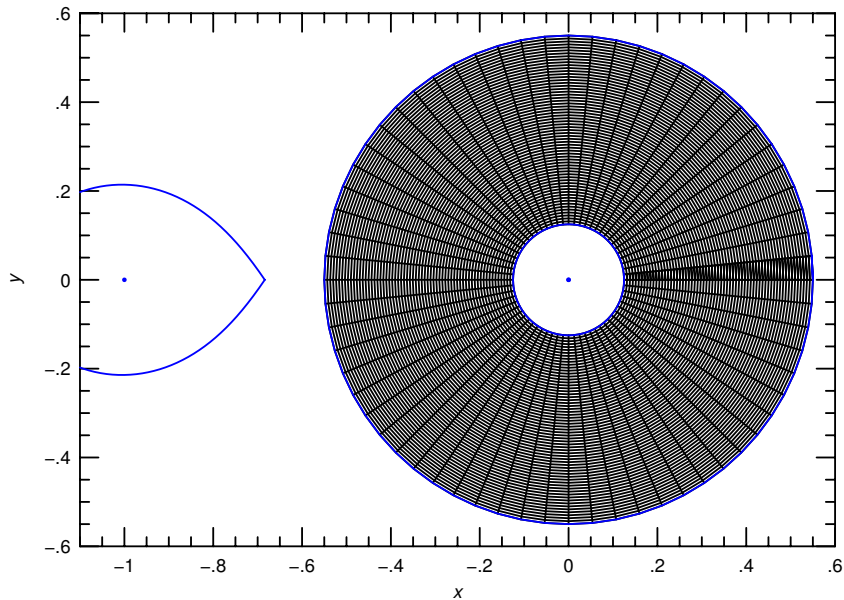
Beispiele: Diesel Injektion

Finite Volumen Methode (FOAM)

Geschwindigkeit, Temperatur, Teilchen (+Isofläche) (Nabla Ltd, 2004)



Beispiele: Kataklysmische Variable: Gitter



Beispiele: Kataklysmische Variable: Scheibenbildung

RH2D Code, Mono-Verfahren

512² Gitterpunkte, Massenverhältnis: $q = m_2/m_1 = 0.15$

